

ΟΡΥΚΤΟΛΟΓΙΚΗ ΚΑΙ ΟΡΥΚΤΟΧΗΜΙΚΗ ΜΕΛΕΤΗ ΘΕΙΟΥΧΩΝ ΜΕΤΑΛΛΟΦΟΡΙΩΝ ΜΕ ΧΡΥΣΟ ΤΗΣ ΠΕΡΙΟΧΗΣ ΣΤΑΝΟΥ, ΣΧΗΜΑΤΙΣΜΟΣ ΒΕΡΤΙΣΚΟΥ, ΧΑΛΚΙΔΙΚΗ

Σ. Καλογερόπουλος, Ε. Κωνσταντινίδου, Ε. Σίμος

ΣΥΝΟΨΗ

Η εργασία αυτή αναφέρεται στην ορυκτολογική και ορυκτοχημική μελέτη θειούχων μεταλλοφοριών στις θέσεις Παλιόμιλος, Χάλκωμα, Καραμπογιά και Κασίδα της περιοχής Στανού του νομού Χαλκιδικής. Οι μεταλλικές παραγενέσεις χαρακτηρίζονται κύρια από θειούχα ορυκτά του Fe-Cu ενώ απαντούν και σφαλερίτης, γαλνίτης, θειούχα δρυκτά Co-Ni, βισμούθινίτης, θειοάλατα του Bi και Cu-Ag-Sb, χρυσός-ήλιεκτρο, τελλούριδα του Bi, μολυβδανίτης και οξείδια του Fe, Ti. Οι μεταλλοφορίες στις τρεις πρώτες θέσεις είναι παραμορφωμένες και μεταμορφωμένες σε αντίθεση με εκείνη στην τέταρτη. Εφαρμονή του γεωθερμόμετρου του αρσενοπυρίτη και του γεωβαρόμετρου του σφαλερίτη σε κατάλληλες παραγενέσεις έδωσαν θερμοκρασίες 460-510°C, πιπτηκότητα θείου $10^{-4.2}-10^{-5.6}$ atm και πλέοντες 5.6 ± 0.8 kb συγκρίσιμες με τις συνθήκες της καθολικής μεταμόρφωσης αμφιβολιτικής-ανώτερης πρωτονοχιστολιθικής φάσης. Ρετόσο ένα μεγάλο τμήμα των τριών πρώτων μεταλλοφοριών δημιουργήθηκεν κατά την ανάδρομη μεταμόρφωση πρωτινοχιστολιθικής φάσης και στη συνέχεια η μεταλλοφορία στη θέση Κασίδα.

ABSTRACT

The mineralogy, textural relationships and the mineral chemistry of sulfide mineralizations from Paliomilos, Chalkoma, Karabogia and Kasida in Stenos area (Chalkidiki Prefecture) are investigated. The mineral assemblages consist mainly of Fe-Cu sulfides. Sphalerite, galena, Co-Ni sulfides, bismuthinite, sulfosalts of Bi and Cu-Ag-Sb, gold-electrum, telluride of Bi, molybdenite and Fe-Ti oxides are also present. The mineralizations of the former three sites are deformed and metamorphosed in contrast to the fourth one. The application of arsenopyrite geothermometry and sphalerite geobarometry in suitable assemblages gave temperatures of 460-510°C, sulfur fugacity $10^{-4.2}-10^{-5.6}$ atm and pressures 5.6 ± 0.8 kb. These conditions are comparable with those of the amphibolite-upper greenschist facies regional metamorphism. However a major part of the three former mineralizations have been formed during the retrograde greenschist metamorphic facies and subsequently the Kasida mineralization.

S. KALOGEROPOULOS - H. CONSTADINIDOU - E. SIMOS : Mineralogy and mineral chemistry of sulfide mineralizations with gold in the Stenos area, Vertiskos formations, Chalkidiki.

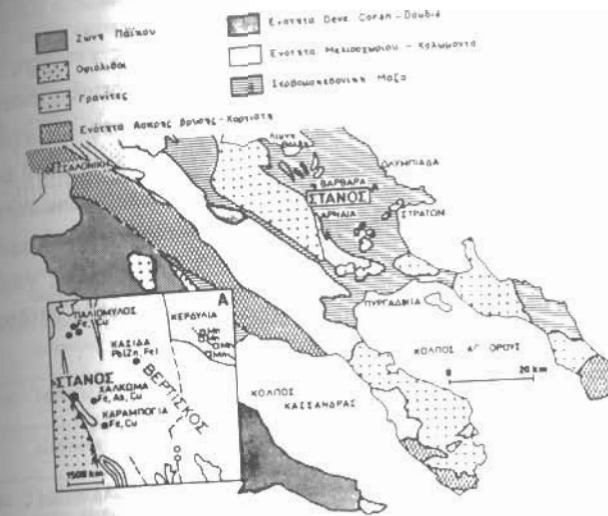
ΕΙΣΑΓΩΓΗ

Η περιοχή έρευνας βρίσκεται στο νομό Χαλκιδικής, περίπου 3 km βόρεια και 2.5 km ανατολικά του χωριού Στανός (Σχ. 1). Οι κυριότερες μεταλλικές εμφανίσεις της περιοχής μελετήθηκαν αρχικά από τους Ιωαννίδη και Τσαμαντουρίδη (1974) και στη συνέχεια στα πλαίσια της έρευνας πρωτογενών χρυσοφόρων εμφανίσεων της Σερβομακεδονικής ζώνης. Οι εμφανίσεις αυτές είναι ο Παλιόμυλος, Χάλκωμα, Καραμπογιά και Κασίδα (Σχ. 1).

Η εργασία αυτή περιλαμβάνει την ορυκτολογική, λιστολογική και ορυκτοχημική μελέτη του μεταλλεύματος. Δίνει ειδική βαρύτητα στην κατανομή του χρυσού και στον καθορισμό των συνθηκών πίεσης και θερμοκρασίας του μεταλλεύματος ή τημάτος αυτού σε σχέση με τις αντίστοιχες συνθήκες των περιβαλλόντων πετρωμάτων. Στόχο της ειδικής αυτής μελέτης αποτελεί η συμβολή στη γένεση των μεταλλοφοριών της περιοχής έρευνας και της συμμετοχής του χρυσού σ' αυτές. Η προσέγγιση στηρίζεται σε λεπτομερή δειγματοληψία, μικροσκοπικές παρατηρήσεις, μικροσκοπία με τη χρήση και διαλυσιγενών αντιδραστηρίων και σε μικροαναλύσεις (GeoL. Superprobe 733, I.G.M.E., αναλυτής Δρ. Γ. Οικονόμου, CAMEBAX Πανεπιστήμιο, VI, Παρίσι).

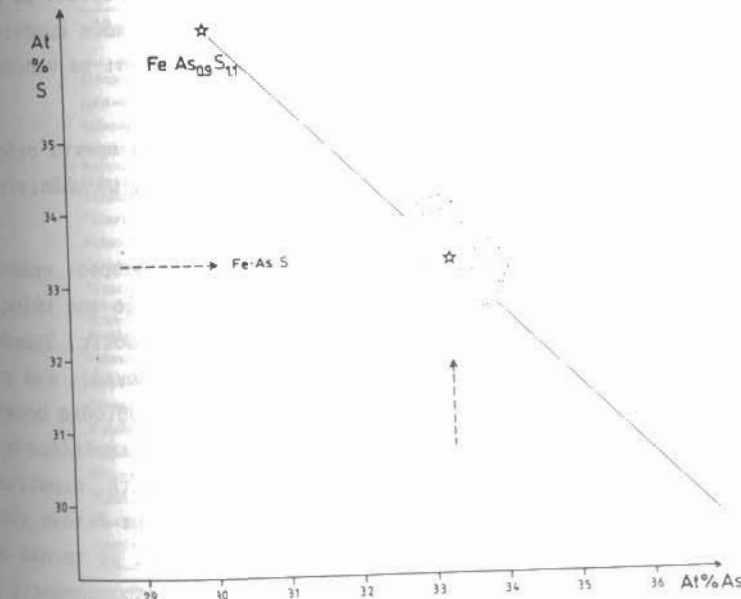
ΓΕΩΛΟΓΙΚΑ ΣΤΟΙΧΕΙΑ

Οι μεταλλικές εμφανίσεις της περιοχής Στανού εντοπίζονται στο σχηματισμό Βερτίσκου ο οποίος μαζί με το σχηματισμό των Κερδυλλίων αποτελούν την αποκλούμενη Σερβο-Μακεδονική Μάζα, γενικά Παλαιοζωικής ή παλαιότερης ηλικίας (Kockel et al., 1977). Ο σχηματισμός του Βερτίσκου είναι ετερογενής και αποτελείται από λιθολογικές μονάδες της 'Ανω Παλαιοζωικής-Τριαδικής ηλικίας, Περιφρεσκητικής ζώνης, διμαρμαρυγιακούς γγεύσιους/σχιστόλιθους, αμφιβολίτες, τμήματα μεταφυλιθικών συστημάτων και γρανιτικών σωμάτων τύπου Αρναίας. Μελέτες πρωτολίθων του σχηματισμού Βερτίσκου αναφέρουν ηφαιστειοζηματογενή, ιζηματογενή και ορθοπροέλευση, αντίστοιχα (Κουγκούλης, 1986, Veranis, et al., 1987, Κασώλη-Φουρναράκη, 1981, Papadopoulos, 1982, Dixon & Dimitriadis, 1984). Σχετικά με την παραμορφωτική εξέλιξη του ετερογενούς αυτού σχηματισμού στο χρόνο, παρόλο που έχει γίνει σημαντική επί μέρους αύξηση του γνωστικού επιπέδου (Πάτρας, κ.ά., 1986, Dixon & Dimitriadis, 1987, Σακελλαρίου, 1988), το πρόβλημα δεν έχει ωστόσο λάβει ακόμη ενταίσια και απόλυτα τεκμηριωμένη έκφραση και απόδοση. Έτσι μια οποιαδήποτε προσπάθεια σύνθεσης σ' αυτή την εργασία ξεφεύγει τουλάχιστον του κύριου στόχου της. Ωστόσο, από κοιτασματολογικής πλευράς, στην περιοχή έρευνας θα πρέπει να τονισθεί ότι η τελευταία αμφιβολιτικής φάσης καθολική μεταμόρφωση ($T=520-575^{\circ}\text{C}$, $P=5-8\text{ kbar}$) βάσει λιστοποιητικών δεδομένων (K/Ar σε αμφιβολί, Ε. Σίμος, γραπτή ενημέρωση) διαρκεί μέχρι και το 'Ανω Κορτιδικό (~100 Ma), ακολουθούμενη από ανάδρομη πρασινοσχιστολιθικής φάσης μεταμόρφωση. Η συγκεκριμένη αμφιβολιτικής φάσης καθολική μεταμόρφωση θα πρέπει να



Σχ. 1 : Απλοποιημένος γεωλογικός χάρτης Σερβομακεδονικής Μάζας (Kockel, et al., 1977) με τις θειούχες μεταλλοφορίες του Στανού.

Fig. 1 : Simplified geological map of the Serbomacedonian Massif (Kockel, et al., 1977) with the sulfide mineralizations of Stanos area.



Σχ. 2 Σύσταση του αρσενοπύριτη (ζευχος As-S At %)

Fig. 2 Composition of arsenopyrite (As-S At %)

αρχίζει από το Ιουρασικό μια κατά την έχουν υποστεί λιθολογικές ενότητες Ανώ Παλαιοζωικής-Κάτω Μεσοζωικής ηλικίας. Πρόσθετα στην περιοχή έρευνας αναγνωρίστηκαν τρεις φάσεις πλαστικής παραμόρφωσης και μια μεταγενέστερη ρηξιγενής (Ε. Σίμος, 1989, προ. ενημέρωση). Η πρώτη (D_n) έχει σχεδόν εξαλειφθεί από τις δύο επόμενες φάσεις (D_{n+1}, D_{n+2}) και μόνον ίχνη της διατηρούνται τοπικά κύρια στην περιοχή Κασίδα. Η μεταλλοφορία στις θέσεις Παλιόμυλος, Χάλκωμα και Καραμπογιά είναι συμπτυχωμένη με τους περιβάλλοντες αχιστοποιημένους γνεύσιους ενώ εκείνη στη Θέση Κασίδα είναι ελεύθερη πτυχωτιγενούς τεκτονικής επίδρασης.

ΓΕΩΛΟΓΙΑ-ΟΡΥΚΤΟΛΟΓΙΑ ΜΕΤΑΛΛΟΦΟΡΩΝ ΕΜΦΑΝΙΣΕΩΝ

Στην περιοχή του Στανού απαντούν τέσσαρες κύριες μεταλλοφόρες εμφανίσεις θειούχων ορυκτών : Παλιόμυλος, Χάλκωμα, Καραμπογιά και Κασίδα. Οι μεταλλοφορίες παρουσιάζονται με τις παρακάτω μορφές : Συμπαγής-διάσπαρτη (Παλιόμυλος, Χάλκωμα, Καραμπογιά) και ασθενώς διάσπαρτη εντός φλεβιδίων (Κασίδα). Η συμπαγής μεταλλοφορία συνδέεται κύρια με χαλαζιακές συγκεντρώσεις πάχους ~20 cm, οι οποίες τέμνουν με μικρή γωνία την κύρια ΒΔ-ΝΑ σχιστότητα των ξενιστών (εξαλλοιωμένοι διμαρμαριγλακοί γνεύσιοι). Η διάσπαρτη συνδέεται με χαλαζιακές συγκεντρώσεις παράλληλες με την κύρια σχιστότητα των γνεύσιων. Η ασθενώς διάσπαρτη μεταλλοφορία στη Θέση Κασίδα εμφανίζεται με μορφή φλεβών-φλεβιδίων τα οποία τέμνουν με μεγάλη γωνία την σχιστότητα των μαρμάρων. Τα κύρια χαρακτηριστικά της κάθε εμφάνισης διδούνται στον Πίνακα 1, ενώ αναλυτικά η ορυκτολογική παραγένεση και τα ποσοστά συμμετοχής των ορυκτών της κάθε μεταλλοφορίας στον Πίνακα 2.

1. Θειούχα ορυκτά βασικών μετάλλων : Πρόκειται για τα ορυκτά σιδηροπορίτης, αρσενοπορίτης, χαλκοπορίτης, σφαλερίτης, μαγνητοπορίτης, μολυβδανίτης και γαληνίτης.

Σιδηροπορίτης : Υπόλιμμορφος έως αλλοτριόμορφος κρύσταλλος, μέσου μεγέθους ~2 mm, οι οποίοι παρουσιάζουν περιεκτικότητα σε Co της τάξης του 0,7% (Πίν. 3). Σχηματίζουν συμπαγείς ή λεπιοτατινώδεις συγκεντρώσεις. Συμφύονται με αρσενοπορίτη (Χάλκωμα) ή μαγνητοπορίτη και σφαλερίτη (Καραμπογιά), ενώ συχνά περιβάλλονται ή διασχίζονται από φλεβιδία χαλκοπορίτη και βισμούθιούχα ορυκτά. Ο ποικιλεύτικός ιστός είναι συχνός με μονοορυκτολογικά ή σύνθετα εγκλείσματα χαλκοπορίτη, σφαλερίτη, μαγνητοπορίτη, βισμούθινητη, χρυσό, μαγνητίτη, αιματίτη, ρουτίλιο, χαλαζία και μαρμαρυγία. Παρουσιάζεται παραμορφωμένος με έντονο κατακλαστικό ιστό κατ', λιγότερο, ιστούς ανακρυστάλλωσης εκφραζόμενος με τριπλά σπειρίδες επαφής ή ζωνώδη ανάπτυξη των κρυστάλλων του (Εικ. 1). Οι παραμορφώσεις αυτές απουσιάζουν από τον σιδηροπορίτη της Θέσης Κασίδας, όπου απαντούν ιδιόμορφοι κρύσταλλοι μέσου μεγέθους ~100 μ., εγκλεισμένοι σε αφθονούσα ορυκτολογική Βιβλιοθήκη "Θεόφραστος" - Τμήμα Γεωλογίας Α.Π.Θ.

Πίν. 1. Γεωλογικο-ορυκτολογικά χαρακτηριστικά των μεταλλικών εμφανίσεων του Στανού
Tab. 1. Geological-mineralogical characteristics of the sulfide mineralizations of Stavros area

Παλιόμυλος	Μορφή Μεταλλού	Άμεσος Περιβάλλον	Σχέση με το Άμεσο Περιβάλλον	Κύρια Ήπιοτοκογενή παραγόντες	Κύρια λοιπολογικά χαρακτηριστικά
Συμπαγής	Διμαρμαριγλακοί γνεύσιοι	"	Ιενέντε με μικρή γύναια την κύρια σχιστότητα ΒΔ-ΝΑ διεύθυνσης	T.ργ., Cρ-Αν., Βιτ.	Συντονίσεις συγκεντρώσεις με κατακλαστικής λειτουργία, παρασυστάλωση, και γυναικεία παραμορφώση με υψηλές ιανετικές και κεραμικές πολυσυνθετικές διδημίες.
Διάσπαρτη	"	"	Παράλληλα με την κύρια σχιστότητα ΒΔ-ΝΑ με μεγάλη γύναια την συμπαγή.	T.ργ., Cρ., Ζ.ργ., Λειτ., Νεμ.	Τανιδιώδεις συγκεντρώσεις με κατακλαστικής λειτουργίας παρασυστάλωσης και πολλές πλευρές.
Παλιόμυλος	Συμπαγής	"	όπως στον Παλιόμυλο	T.ργ., Cρ., Ζ.ργ.	όπως στη συμπαγή του Παλιόμυλου
Διάσπαρτη	"	όπως στον Παλιόμυλο	"	T.ργ.στ., Ργ.	όπως στη διάσπαρτη του Παλιόμυλου
Καραμπογιά	Συμπαγής	"	όπως στον Παλιόμυλο	T.ργ., Cρ., Ζ.ργ., Βι.	όπως στη συμπαγή του Παλιόμυλου
Διάσπαρτη	"	όπως στον Παλιόμυλο	"	T.ργ.-μαργ., Ζ.ργ., Νεμ.	όπως στη διάσπαρτη του Παλιόμυλου
Κασίδα	Διάσπαρτη ενερός φλεβών	μαρμαρά	Φλέβες που τέμνουν την ΒΔ-ΝΑ, (γρη)+Cu, με μεγάλη γύναια Αγ., Ζ.ργ.	"	Μη παραμορφωμένες μεταλλικές συγκεντρώσεις πλησίου τικτυνικής ποινής με μικρούτελλην παραμόρφωση.

¹ ρυθμοδημορπούτης, Cρ=χαλκοπορίτης, Ζ.ργ.=λαρνακίτης, Αγ.=αρσενοπορίτης, Νεμ.=νεμετίτης, Ζ.ργ.αντιρυθμορυθμούτης, Σρη=σφαλερίτης, Ζαγγαλνίτης. Τα στοιχεία Au, Bi, Te, Cu, Ag, Zn αντιπροσωπεύουν αυτοτριχία μετάλλων η οποία των στοιχείων σημαίνει ότι περιέχουν (Βλ. κείμενο).

Πίν. 2. Ορυκτολογικά παραγόντες των μεταλλικών εμφανίσεων του Στανού
Tab. 2. Mineralogical assemblages of the sulfide mineralizations of Stavros area

Ορυκτό	Παλιόμυλος	Χάλκωμα	Καραμπογιά	Κασίδα
	Συμπ. Διάσπ.	Συμ. Διάσπ.	Συμπ. Διάσπ.	Διάσπ.
Σιδηροπορίτης	***	**	*	***
Αρσενοπορίτης		***	***	
Χαλκοπορίτης	++	++	+	*
Μαγνητοπορίτης	+	+	+	+
Κατερεύτης	-	-	-	-
Σιδηροπορίτης-Σιδηροπορίτης	-	-	-	-
Σφαλερίτης	-	-	-	-
Γαληνίτης				---
Βισμούθινης	+	-	-	-
Θειοδιάτη ΒΙ	+	-	-	-
Τετραεδρίτης				-
Πολυβασίτης-Περοεύτης				-
Χρυσός	+	-	-	-
Ηλεκτρό	+	-	-	-
Βισμούθιο	-	-	-	-
Τελλονιούρδιο ΒΙ	+	-	-	-
Μολυβδανίτης	+	-	-	-
Μικλερίτης				-
Μανητίτης	+	+	+	+
Αιματίτης	+	-	-	-
Ιλιανίτης	+	-	-	-
Ρουτίλιο	+	-	-	-

*** Μεγάλη συμμετοχή

** Ενδιάμεση συμμετοχή

* Μικρή συμμετοχή

Α.Π.Θ. Ουνδρόμα συστάτο στις τρεις ποινές εμφανίσεως είναι χαλαζίας, χλωτίτης, μαρμαρυντίς (κρυπτός θεοχάλκιτης), εγκλείσματα σε καλαζίας, καλκηδόνιος, ασβεστίτης. Τα ορυκτά εβαλλόμενα είναι : κρατίτης, κοβελλίνης, καλκούνης, μαλαχίτης και "όχρα του Βισμούθιου".

3. Κηρυκή αιγαίνων χρυσού⁽¹⁾, ἀκτέρου⁽²⁾, εὐθύδουνου ωκουνί⁽³⁾ της λοδουόπεν⁽⁴⁾ σε όρες πολύβασιτε-pearelite⁽⁵⁾ [(Ag,Cu)₆Sb₂Si₁-(Ag,Cu)₆S₁₁], As⁽⁵⁾, Ag⁽⁵⁾, οικου τε περδούτη⁽⁶⁾ [(Cu,Fe,Zn,Ag)₃⁽⁷⁾(As,Sb)₅₁₁]⁽⁸⁾, μάλχειτη⁽⁹⁾ (NiS)₂, μίτου κυανόπλακου καττιτερε-ψυρίτη⁽¹⁰⁾ [(Co₃-Fe₂-, Fe₃-, Fe₅-, Fe₆-, Fe₇-) Al₂Si₅O₁₀]⁽¹¹⁾, οραζείτη⁽¹²⁾.

3. Chemical composition of gold⁽¹⁾, electrum⁽²⁾, polybasite-pearlite⁽³⁾, Ag-bearing tetrahedrite⁽⁵⁾, millerite⁽⁵⁾, catite-terpyrite⁽⁶⁾, pyrite⁽⁷⁾ and sphalerite⁽⁸⁾.

Tab. 4. Chemical composition of Bi-bearing minerals : cosalite⁽¹⁾, gladite⁽²⁾, pavonite⁽¹⁾, emblectite⁽³⁾, bismuthinite⁽⁴⁾, bismuthnathite⁽⁵⁾, joesite⁽⁶⁾

Επιλογές		1	2	3	4	5	6	7	8
80.37	53.39	-	-	-	-	-	-	-	-
18.12	43.88	65.64	8.31	-	-	-	-	-	-
0.28	0.24	-	1.10	0.58	24.13	46.28	1.00	-	-
-	-	-	-	64.28	-	-	-	-	-
-	-	-	-	-	22.53	0.07	-	-	-
-	-	16.29	23.40	35.10	50.79	53.77	32.79	-	-
-	-	2.96	1.69	-	2.43	0.10	-	-	-
1.09	1.64	8.50	31.88	-	-	-	0.26	-	-
-	-	6.57	26.94	-	-	-	-	-	-
-	-	-	6.60	-	-	-	65.60	-	-
99.86	99.15	99.96	99.92	99.96	99.88	100.22	99.65	-	-
Φημιακή Βιβλιοθ		1	2	3	4	5	6	7	8
0.68	0.38	-	-	-	-	-	-	-	-
0.28	0.57	13.18	1.37	-	-	-	-	-	-
0.01	0.01	-	0.35	0.01	0.55	0.99	0.02	-	-
-	-	-	-	1.00	-	-	-	-	-
-	-	-	-	-	0.48	-	-	-	-
-	-	11.00	13.00	1.00	2.00	2.00	1.00	-	-
-	-	0.85	0.40	-	0.04	-	-	-	-
0.03	0.04	2.89	8.93	-	-	-	-	-	-
		1.20	3.20	-	-	-	-	-	-

0.01	-	0.35	0.01	0.55	0.99
-	-	-	1.00	-	-
-	-	-	-	0.48	-
-	11.00	13.00	1.00	2.00	2.00
-	0.85	0.40	-	0.04	-
0.04	2.89	8.93	-	-	-
-	1.70	3.94	-	-	-
-	-	1.79	-	-	-
1.00	29.62	29.78	2.01	3.07	2.99
					2.00

<u>Atoloxcia</u> <u>Wt%</u>	1	2	3	4	5	6	7
Pb	38.35	11.07	17.75	-	-	-	2.86
Bi	41.29	63.15	57.46	63.13	74.72	97.93	68.46
Cu	1.89	5.70	0.53	19.62	5.47	0.71	2.08
Fe	0.29	-	-	0.62	-	0.78	1.18
S	17.53	18.63	16.94	15.65	17.00	-	5.98
Ag	1.71	-	8.60	2.21	-	0.48	0.81
Tc	-	-	-	-	1.97	-	17.76
Total	101.06	98.55	101.28	101.23	99.16	99.90	99.13
<u>Atoloxcia</u> <u>At-%</u>	1	2	3	4	5	6	7
Pb	1.69	0.83	1.30	-	-	-	0.14
Bi	1.81	4.68	4.16	1.23	2.02	1.00	3.51
Cu	0.27	1.39	0.13	1.26	0.48	0.02	0.35
Fe	0.05	-	-	0.04	-	0.03	0.22
S	5.00	9.00	8.00	2.00	3.00	-	2.00
Ag	0.15	-	1.21	0.08	-	0.00	0.08
Tc	-	-	-	-	0.08	-	1.49
Total	8.97	15.90	14.80	4.61	5.58	1.05	7.79

Αρσενόπιρίτης: Συμφύεται με σιδηροπυρίτη ή δημητουργεί μονορικτολογικές συμπαγείς ή ταϊνιώδεις συγκεντρώσεις στο μετάλλευμα της εμφάνισης χάλκωμα. Τα χαρακτηριστικά του καὶ οι παραμορφώσεις του - κυρίως κατακλαστικοί λειτοί οι οποίοι συνδέονται τοπικά με την παρουσία χρυσού-ήλεκτρου (ΕΙΚ. 2) - είναι όμοιες με εκείνες του σιδηροπυρίτη. Πρόκειται για στοιχειομετρικό αρσενοπυρίτη με σίδηρο κυμανόμενο στις τιμές 33.3 ± 0.7 At %.

Χαλκοπυρίτης : Αλλοτριόμορφος κόκκος ή συγκεντρώσεις οι οποίες περιβάλλουν ή πληρούν κατακλάσεις των πυριτών (σιδηροπυρίτη και αρσενοπυρίτη). Συμφύεται ή φέρει εγκλείσματα βιασμουθιούχων ορυκτών, χρυσού, μολυβδανίτη, σφαλερίτη και μαγνητοπυρίτη, ενώ τα δύο τελευταία ορυκτά παρουσιάζονται και με μορφή απομίζεων (Εικ. 3). Παρουσιάζεται παραμορφωμένος με επιμηκυσμένους κρυστάλλους και κεκαμμένες πολυσυνθετικές δυδιμίες. Μη παραμορφωμένος χαλκοπυρίτης ο οποίος ανήκει σε μεταγενέστερο μεταλλογενετικό επεισόδιο απαντά στο μετάλλευμα της Κασίδας όπου συμφύεται με πολυβασίτη, Αγ-ούχο τετραεδρίτη και σφαλερίτη φτωχό σε σίδηρο.

Σ φαλερίτη : Συμφύεται με μαγνητοπυρίτη και σιδηροπυρίτη (Καραμπογιά) και συχνά απαντά ποικιλοβλαστικώς εγκλεισμένος στο σιδηροπυρίτη (sph_I). Μία επόμενη γενεά σφαλερίτη (sph_{II}) - σε ελάχιστα ποσοστά - εγκλείεται στον χαλκοπυρίτη και η κρυστάλλωσή του θεωρείται σύγχρονη με τα βισμουθιούχα ορυκτά, το χρυσό και τον χαλκοπυρίτη, ενώ ακόμη νεώτερος σφαλερίτης (sph_{III}) συνδέεται με τα ορυκτά Cu-Sb-Pb και Ag στη Θέση Κασίδα. Η κυριότερη διαφορά των τριών γενεών σφαλερίτη εκτός από τα ιστολογικά χαρακτηριστικά και τους ορυκτολογικούς συνδυασμούς, αποτελεί το περιεχόμενο ποσοστό σιδήρου το οποίο στον sph_I φθάνει στα 8.49%, ενώ στον sph_{III} είναι της τάξης του 1% (Πίν. 3).

Μαγνητοπυρίτης: Συμφύεται με σφαλερίτη και σιδηροπυρίτη στο μετάλλευμα της Καραμπογιάς και μεταπίπτει συχνά σε σιδηροπυρίτη και μαγνητίτη. Στις θέσεις Παλιόμυλος και Χάλκωμα απαντά κυρίως με μορφή εγκλεισμάτων στους πυρίτες όπου και συμφύεται με χαλκοπυρίτη ή/και σφαλερίτη. Η επίδραση μαγνητικού κολλοειδούς (Barton, 1970) έδειξε ότι πρόκειται για εξαγωνικό μαγνητοπυρίτη στη θέση Καραμπογιά, ενώ η επιβεβαίωση με περιθλασμετρία ακτίνων -X ήταν αδύνατη λόγω του μεκρού ποσοστού συμμετοχής και των συμφύσεων του με τα υπόλοιπα ορυκτά.

Μολυβδαίν έτης: Παρατηρήθηκε σε ελάχιστες περιπτώσεις εγκλεισμένος στον χαλκοπυρίτη (Παλιόμυλος και Χάλκωμα). Απαντά με ιδιόμορφους ή υπειδόμορφους, μικρούς επιμήκεις κρυστάλλους, τοπικά κεκαμένους.

Γαληνίτης: Δημιουργεί μικρές συγκεντρώσεις, φλεβοειδούς μορφής οι οποίες πληρούν τεκτονικές ασυνέχειες των μαρμάρων στη θέση Κασίδα. Αξιζει να σημειωθεί ότι ενώ ο ξενιστής (μάρμαρο) παρουσιάζεται έντονα τεκτονισμένης.

νος έως μιλωντειωμένος οι συγκεντρώσεις του γαληνίτη δεν παρουσιάζουν στοιχεία παραμόρφωσης, αλλά αντίθετα αποτελούν την συγκολλητική ύλη των πετρογενετικών θραυσμάτων. Από παραγενετικής άποψης αποτελεί το τελευταίο ορυκτό κρυστάλλωσης του τρίτου μεταλλογενετικού σταδίου το οποίο αντιστοιχεί στις μη παραμορφωμένες μεταλλοφορίες της περιοχής Στανού.

2. Θειούχα ορυκτά Co-Ni : Πρόκειται για μικτούς κρυστάλλους *cattierite* (CoS_2) και σιδηροπυρίτη, Πίν. 3, αν. 6, και μιλλερίτη. Οι πρώτοι απαντούν με λιδιόμορφους, ευμεγέθεις διάσπαρτους κρυστάλλους οι οποίοι περιβάλλονται από θειόλατα του Βισμούθιου, ενώ σε μια περίπτωση διασχίζεται από λεπτότατο φλεβίδιο χρυσού (Εικ. 4) (Παλιόμυλος). Ο μιλλερίτης παρατηρήθηκε διάσπαρτος στη θέση Κασίδα. Η παρουσία τους μαζί με τη διαπίστωση της συμμετοχής Co στον σιδηροπυρίτη και σε συνδυασμό με την παρουσία βασικών πετρωμάτων στην περιοχή, αποτελούν ενδείξεις για την προέλευση μέρους των μεταλλικών στοιχείων της περιοχής από την απόπλυση των βασικών πετρωμάτων.

3. Ορυκτά του Bi : Πρόκειται για τα θειούχα ορυκτά βισμούθινίτη, τα θειοάλατα *colasite*, *gladite*, *pavonite* και *emplectite*, το αυτοφυές μέταλλο βισμούθιο και το τελλουρίδιο του βισμούθιου (πιθανόν *joseite*). Ο βισμούθινίτης και τα θειοάλατα (με συχνότερο τον *cosalite*) δημιουργούν αλλοτριόμορφους κρυστάλλους μέσου μεγέθους μερικών δεκάδων μικρών, οι οποίοι τοπικά εξαλοιφώνονται σε "όχρα του Bi". Περιβάλλουν τους σιδηροπυρίτες ή διεισδύουν στους διακρυσταλλικούς τους χώρους ή σπάνια, εμφανίζονται σαν ανεξάρτητοι κρύσταλλοι. Συνήθως όμως εντοπίζονται στα φλεβίδια του χαλκοπυρίτη τα οποία πληρούν ρωγμές των κερματισμένων σιδηροπυρίτων όπου και συμφύονται τοπικά με χρυσό-ήλεκτρο ή τελλουρίδιο του Bi (Εικ. 5). Ο βισμούθινίτης παρατηρήθηκε παραμορφωμένος με κεκαμμένες πολυσυνθετικές δυδιμίες. Το αυτοφυές Bi και το τελλουρίδιο του Bi εγκλείσονται στα πρωτογενή ή δευτερογενή ορυκτά του βισμούθιου ή στον χαλκοπυρίτη, και το μέγεθός τους είναι πάντα της τάξης των λίγων μ. Γενικά τα βισμούθιούχα ορυκτά, εγκλεισμένα σε "φλέβες" χαλκοπυρίτη αποτελούν συχνά "τα ορυκτά-οδηγοί" για τον εντοπισμό του χρυσού στο μικροσκόπιο. Η παραγένεση "φλέβες χαλκοπυρίτη" + ορυκτά Bi + χρυσός είναι χαρακτηριστική για τις μεταλλοφορίες του Στανού.

Η λεπτόμερής παρουσίαση των ορυκτών του Bi, μερικά από τα οποία αναφέρονται για πρώτη φορά στον Ελλαδικό χώρο, αποτελεί αντικείμενο μελλοντικής εργασίας, ενώ εδώ δίδονται ενδεικτικά οι χημικές συστάσεις των κυριότερων από αυτά (Πίν. 4).

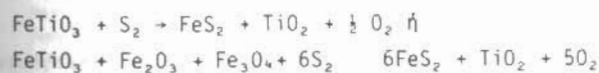
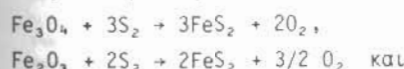
4. Χρυσός-ήλεκτρο : Εντοπίστηκαν στις μεταλλικές εμφανίσεις Παλιόμυλος και Χάλκωμα, όπου με μεγαλύτερη συχνότητα απαντά το ήλεκτρο με κυματινόμενη συμμετοχή Ag από 20.57-43.88% (Πίν. 3). Έχουν μορφή αλλοτριόμορφων και σπάνια λιδιόμορφων κρυστάλλων με μέγεθος <3μ - 45 μικρά, ενώ συχνότερα είναι τα μεγέθη των 3 μ περίπου. Εγκλείσονται συνήθως στα φλεβίδια του χαλκοπυρίτη τα οποία

ρουν ρωγμές των κερματισμένων σιδηροπυρίτων και συμφύονται σταθερά με ορυκτά του βισμούθιου, ενώ στην ίδια παραγένεση ανήκουν ελάχιστα ποσοστά σφαλερίτη (*sph_{II}*) καθώς και το τελλουρίδιο του Bi. Επιπλέον παρατηρήθηκαν λεπτά φλεβίδια χρυσού-ήλεκτρου σε κρυστάλλους αρσενοπυρίτη και τους μικτούς κρυστάλλους $\text{COS}_2\text{-FeS}_2$ ή σε διακρυσταλλικούς χώρους των πυριτών καθώς και ελεύθεροι στρογγυλεμένοι κόκκοι ή-λεκτρου μεταξύ των πυριτικών θραυσμάτων. (Εικ. 6 και 7). Οι παραπάνω ιστολογικές ειδήσεις δείχνουν μια καθαρή σύνδεση της απόθεσης των ορυκτών του χρυσού με τα ψαλνόμενα παραμόρφωσης της μεταλλοφορίας και μάλιστα με το στάδιο του έντονου κερματισμού της το οποίο συνοδεύτηκε από την κρυστάλλωση ορυκτών Cu, Bi, Au, Ag⁺ Te, Zn.

5. Θειοάλατα Cu-Ag-Sb : Πρόκειται για τα ορυκτά Ag/ούχος τετραεδρίτης και το ορυκτό ενδιάμεσης σύστασης *polybasite-pearceite* στη θέση Κασίδα. Δημιουργούν αλλοτριόμορφους κρυστάλλους μεγέθους αρκετών δεκάδων μικρών, οι οποίοι συμφύονται μεταξύ τους και με τον χαλκοπυρίτη, ενώ οι συμφύσεις αυτές εγκλείσουν σφαλερίτη (*sph_{III}*) και σιδηροπυρίτη (Εικ. 8). Τα προηγούμενα ορυκτά μαζί και με τον γαληνίτη ανήκουν στο τελευταίο μεταλλογενετικό στάδιο το οποίο έλαβε χώρα μετά τις μεταμορφώσεις-παραμορφώσεις των σιδηρούχων μεταλλοφοριών με χρυσό στον Παλιόμυλο και Χάλκωμα.

6. Οξείδια Fe, Ti : Τα ορυκτά μαγνητίτης, υλμενίτης, αιματίτης και ρουτίλιο απαντούν με μεγαλύτερη συχνότητα στην διάσπαρτη μεταλλοφορία σαν συνμεταμορφικού κρύσταλλοι στους διμαρμαρυγλακούς γνεύσιους και έχουν στενή γενετική σχέση με τα σιδηρομαγνησιούχα ορυκτά (βισιτίτης) από τα οποία και προέρχονται.

Η παρουσία μικρών υπολειμματικών κόκκων μαγνητίτη, αιματίτη ή και ρουτίλιου σε συγκεντρώσεις ή κρυστάλλους σιδηροπυρίτη αποτελεί ενδείξεις για τη δημιουργία μέρους του σιδηροπυρίτη από την επίδραση του S στα παραπάνω οξείδια, σύμφωνα με τις αντιδράσεις :



Επιπλέον μέρος του μαγνητίτη και σιδηροπυρίτη στη θειούχο μεταλλοφορία φαίνεται να συνδέεται με τον μαγνητοπυρίτη, από την οξείδωση του οποίου και προήλθαν :



ΙΣΤΟΛΟΓΙΚΑ ΧΑΡΑΚΤΗΡΙΣΤΙΚΑ

Οι μεταλλοφορίες στις θέσεις Παλιόμυλος, Χάλκωμα και Καραμπογιά είναι μεταμορφωμένες και παραμορφωμένες ενώ στη θέση Κασίδα η μεταλλοφορία δεν φέρει τα παραπάνω χαρακτηριστικά. Τα κυριότερα ιστολογικά δεδομένα τα οποία στηρίζουν

την άποψη αυτή είναι :

Τα τινιώδη ιστός από προσανατολισμένες μεταλλικές και χαλαζιακές συγκεντρώσεις παράλληλα με τις επιφάνειες σχιστότητας των διμαρμαρυγιακών γνευσών. Πορφυροβλαστικός ή/και πορφυροκλαστικός ιστός αποτελούμενος κυρίως από σιδηροπυρίτες επιμηκυσμένους με στρογγυλεμένα ή γωνιώδη κερματισμένα άκρα που αποδίδονται σε περιστροφή ή κύληση κατά τη διάρκεια shearing (Vokes, 1969). Δημιουργία οκιών πίεσης, τοπικά στα άκρα των σιδηροπυρίτων, οι οποίες καταλαμβάνονται από χλωρίτη ή μίκα. Οι κατακλαστικοί ιστοί είναι έντονοι μέχρι μυλωνιτικοί, τοπικά με ακανδυτική διεύθυνσης κατακλάσεις ή με προσανατολισμένες παράλληλη ή κάθετα με τον μεγαλύτερο όξονα των μεταλλικών ορυκτών με μεγάλη σκληρότητα. Αντίθετα τα ορυκτά με μικρή σκληρότητα (χαλκοπυρίτης, βισμουθινίτης, σφαλερίτης) παρατηρείται εύπλαστη παραμόρφωση με πολυουσιθετικές κεκαμένες δυδιμίες ή με φλεβικές μορφές (injection) οι οποίες πληρούν τις κατακλάσεις ή τους διλακυρσταλλικούς χώρους των σιδηροπυρίτων. Οι ιστοί ανακρυστάλλωσης οι οποίοι εκφράζονται με τριπλά σημεία επαφής διατηρούνται σε σημεία όπου ο κερματισμός του μεταλλεύματος δεν είναι έντονος ενώ ιστοί ανακρυστάλλωσης εκφράζονται σπανιότερα με ζωνώδη ανάπτυξη θεωρούνται μεταγενέστεροι του κερματισμού αφού παρατηρούνται σε υγείες-ιδιόμορφους κρυστάλλους σιδηροπυρίτη.

Τα παραπάνω χαρακτηριστικά αφορούν μόνο στις μεταλλοφορίες του Παλιόμυλου, Χάλκωμα και Καραμπούια και δηλώνουν την παραμόρφωση και αντίστοιχη μεταμόρφωση που έχουν υποστεί. Αντίθετα οι μεταλλικές συγκεντρώσεις στη Θέση Κασίδα παρουσιάζονται μη παραμορφωμένες και καλά διατηρημένες σε σύγκριση με τον ξενιστή (μάρμαρα) ο οποίος είναι έντονα τεκτονισμένος έως μυλωνιτιωμένος. Επιπλέον τα φλεβοειδή μεταλλικά συσσωματώματα αποτελούν την συνδετική ύλη των πετρογενετικών θραυσμάτων. Οι παρατηρήσεις αυτές μαζί με την ορυκτολογική παραγένεση Cu+Sb+Ag εντοπίζουν την άποψη ότι η μεταλλοφορία της Κασίδας είναι μεταγενέστερη από εκείνες των υπόλοιπων εμφανίσεων.

Ο ΑΡΣΕΝΟΠΥΡΙΤΗΣ ΣΑΝ ΓΕΩΘΕΡΜΟΜΕΤΡΟ

Οι προϋποθέσεις για τη χρήση του χημισμού του αρσενοπυρίτη σαν γεωθερμόμετρο με βάση τη μελέτη των Kretschmar and Scott (1976) και Sharp et al. (1985) είναι (i) η συμμετοχή του αρσενοπυρίτη σε παραγενέσεις λιορροπίας με ρυθμισμένο θερό, (ii) η συμμετοχή των ιχνοστοιχείων Co, Ni, Sb σε συγκεντρώσεις μικρότερες του 1% κ.β. και (iii) μεταμόρφωση μικρότερη της ανώτερης αμφιβολιτικής φάσης.

Από τη μεταλλοφορία του Στανού και συγκεκριμένα το Χάλκωμα αναλύθηκαν αρσενοπυρίτες οι οποίοι συμφύονται με σιδηροπυρίτη ενώ στην παραγένεση απαντά και μαγνητοπυρίτης. Οι αναλύσεις έγιναν στον μικροαναλυτή του I.G.M.E. (Jeol. Superprobe 733, αναλυτής Δρ. Γ. Οικονόμου) και δύνονται στον Πίνακα 5. Η καλή ποιότητα των αναλύσεων προκύπτει από το συνολικό αποτέλεσμα (wt%, πίν. 5) και

Πίν. 5. Χημική συστοιχία πελεκάστη και αρσενοπυρίτη

Tab. 5. Chemical composition of sphalerite and arsenopyrite.

	1	2	3	4	5	6	7	8	9	10	11	12	13	14	15
wt%	7,12	6,97	7,25	7,16	7,16	7,35	7,45	7,46	7,74	8,22	8,44	7,19	7,61		
Fe	59,10	59,13	59,31	59,41	59,50	59,51	59,52	59,53	59,52	59,53	59,54	59,54	59,54	59,54	59,54
Zn	31,53	31,10	32,56	32,50	32,51	32,16	32,60	32,62	32,54	32,57	32,41	32,41	32,41	32,41	32,41
S	0,37	0,29	0,35	0,32	0,16	0,26	0,19	0,24	0,33	0,26	0,31	0,13	0,13	0,24	0,24
Cd	0,04	0,08	0,06	0,07	0,01	0,02	0,01	0,01	0,02	0,02	0,03	0,01	0,01	0,01	0,01
Co	-	-	-	-	-	-	-	-	-	-	-	-	-	-	-
As	98,16	97,57	99,53	99,48	98,68	93,13	98,48	94,71	94,03	98,01	98,94	92,79	98,64	92,79	92,79
Total	100,00	100,00	100,00	100,00	100,00	100,00	100,00	100,00	100,00	100,00	100,00	100,00	100,00	100,00	100,00
wt%	12,31	12,073	12,49	12,60	12,076	12,65	12,40	12,99	13,32	14,37	14,67	13,63	13,09		
Fe%	46,20	46,12	46,05	46,29	46,12	45,59	45,29	46,23	46,73	45,73	46,76	45,49	45,80	46,01	46,22
As%	34,18	33,76	33,71	33,65	33,69	33,48	32,98	33,54	31,19	35,6	35,6	31,6	32,51	34,00	34,47
Zn%	19,12	19,38	19,61	19,70	19,32	19,45	19,63	19,36	19,32	19,71	19,42	19,29	19,31	19,52	19,96
Si%	-	-	-	-	-	-	-	-	-	-	-	-	-	-	-
Al%	-	-	-	-	-	-	-	-	-	-	-	-	-	-	-
Co%	0,04	0,05	0,09	0,03	0,03	0,03	0,03	0,03	0,03	0,03	0,03	0,03	0,03	0,03	0,03
Br%	99,54	99,34	99,46	99,67	99,43	99,01	99,71	99,31	98,77	94,36	100,14	98,98	99,00	94,61	99,92
Total	100,00	100,00	100,00	100,00	100,00	100,00	100,00	100,00	100,00	100,00	100,00	100,00	100,00	100,00	100,00
wt%	33,77	33,68	33,56	33,64	33,85	33,38	33,53	33,94	34,02	33,34	33,96	33,74	33,53	33,44	33,69
As%	46,47	46,42	46,29	45,94	46,46	45,82	45,71	46,07	45,95	46,31	45,93	46,29	45,79	46,40	46,83
Zn%	33,21	33,77	33,32	33,39	33,52	33,17	32,11	32,48	31,45	33,70	32,47	32,71	33,93	34,22	34,40
S%	19,55	19,67	19,48	19,83	19,83	19,51	19,08	19,98	19,63	19,54	19,11	19,92	19,56	19,37	19,60
Al%	-	-	-	-	-	-	-	-	-	-	-	-	-	-	-
Co%	-	-	-	-	-	-	-	-	-	-	-	-	-	-	-
Br%	99,24	99,89	99,19	99,11	98,77	99,76	99,02	94,42	98,34	93,43	99,81	93,20	99,79	100,23	100,20
Total	100,00	100,00	100,00	100,00	100,00	100,00	100,00	100,00	100,00	100,00	100,00	100,00	100,00	100,00	100,00
wt%	33,99	33,69	33,86	33,49	33,44	33,43	33,34	33,80	33,74	33,62	33,79	33,80	33,73	33,58	33,63

Πιν. 5. Αναλ. 1-9 : sph+pyrr., 10-11 : sph+pyrr., 12-13 : sph+pyrr., 14-15 : sph+pyrr., 16-17 : sph+pyrr.

Πίν. 6 Παραγενετική σειρά ορυκτών στις μεταλλοφορίες Στανού

Tab. 6 Paragenetic sequence of Stanos mineralizations

Ορυκτά	Παραμορφωμένες μεταλλοφορίες Παλιόμυλος - χάλκωμα καρυδοποιία		
	Στάδιο I	Στάδιο II	Στάδιο III
Σιδηροπυρίτης			
Αρσενοπυρίτης	■	■	
Μεντινοπυρίτης			
Κατεροπίτης-αλέρτοποιοτής			
Μαλλαζίτης			
Διανύτης			
Μεντινής			
Αλεκτίτης			
Ρουτίλο			
Περλαρίτης			
Χιλιαριούτης			
Βιστοριόνιτης			
Βελοδέντα Bi			
Τελλολούδιο Bi			
Αυτοριτές Bi			
Χοιρός - Αλέρτος			
Μαλαβάνιτης			
Γαλνίτης			
Λατεσαρέας			
Πολιτιστής			
Πολιτιστερέας			
Χαλαζίας			
Χλωρίτης			
Μαρμαρούλας			
Λαζαρίτης			

πρέπει να κυμαίνεται μεταξύ 98% και 101% (Kretschmar and Scott, 1976), την στοχευμέτρική σύσταση στο ζεύγος αρσενικό-θείο (Σχ. 2) και τον περιεχόμενο σίδηρο κυμαίνομενο στο πλαίσιο 33.3 ± 0.7 (άτομα %, Σχ. 3). Η συμμετοχή των ιχνοστοιχείων Co, Ni και Sb είναι κατά πολύ μικρότερη του 1% κ.β., ενώ η ζώνωση μεταξύ κέντρου-περιφέρειας σε μεμονωμένους κρυστάλλους είναι μικρότερη του αναλυτικού σφάλματος (<0.1 άτομα % As).

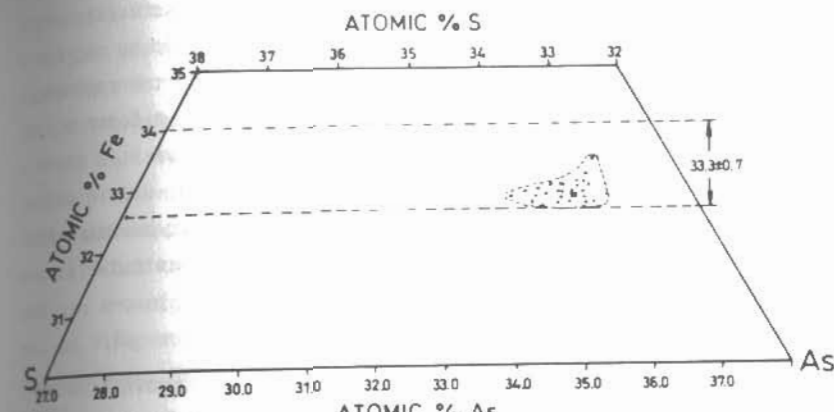
Για τις συγκεκριμένες παραγενέσεις που διαπιστώθηκαν ($\text{py} + \text{sph} \pm \text{po}$) και με περιεχόμενο αρσενικό στον αρσενοπυρίτη κυμαίνομενο μεταξύ 32.6 και 33.99 (άτομα %, Πίν. 5) από το διάγραμμα $X(\text{As}) - \log f_{\text{S}_2} - T$ (Kretschmar and Scott, 1976, Sharp et al., 1985) προκύπτουν θερμοκρασίες στο εύρος $460-510^\circ \text{C}$ και πτητικότητα του θείου $10^{-4.2}$ μέχρι $10^{-5.26}$ (atm). Αξίζει να σημειωθεί ότι για την πτητικότητα αυτή του θείου και τον σίδηρο της συνυπάρχουσας γενεάς σφαλεριτών (βλ. επόμενο κεφάλαιο) από το διάγραμμα $f_{\text{S}_2} - T - X^{\text{sp}}_{\text{FeS}}$ του συστήματος Fe-Zn-S (Scott and Barnes, 1971; Barton and Skinner, 1979) προκύπτουν θερμοκρασίες συγκρίσιμες με εκείνες των αρσενοπυριτών. Τα στοιχεία αυτά υποδηλώνουν "χημική ισορροπία" στο εν αναφορά σύστημα και συνεπώς τη δυνατότητα χρήσης του σφαλερίτη της συγκεκριμένης παραγένεσης ($\text{sph} \pm \text{po}$ σε py) σαν γεωθερμέτρο.

Ο ΣΦΑΛΕΡΙΤΗΣ ΣΑΝ ΓΕΩΒΑΡΟΜΕΤΡΟ

Η χρήση του περιεχόμενου σίδηρου στο σφαλερίτη για τον καθορισμό της πίεσης πρέπει να γίνεται κάτω από τις εξής απαραίτητες προϋποθέσεις (Graig and Scott, 1974, Hutchinson and Scott, 1981): (i) η πτητικότητα του $S(f_{\text{S}_2})$ του σφαλερίτη να ρυθμίζεται από την παραγένεση ισορροπίας σιδηροπυρίτης + δ-γωνικός μαγνητοπυρίτης, (ii) τα ιχνοστοιχεία Cu, Mn και Cd να είναι σε συγκεντρώσεις οι οποίες δεν επηρεάζουν τον μερικό μοριακό όγκο του FeS στον σφαλερίτη ή την ενεργότητα του FeS στο σύστημα που προαναφέρθηκε και (iii) ο σφαλερίτης να είναι ελεύθερος εγκλεισμάτων χαλκοπυρίτη.

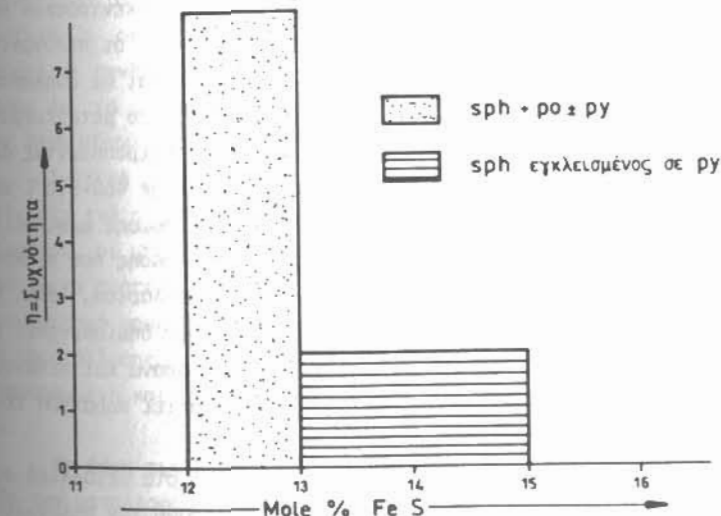
Ο σφαλερίτης συμμετέχει στις μεταλλοφορίες του Στανού στην εποικισμένη συρκτό (a) στην παραγένεση μαγνητοπυρίτης εξαγωνικός (3λ.σελ.4)+σιδηροπυρίτης & (b) εντοπίζεται με τη μορφή εγκλεισμάτων στον σιδηροπυρίτη. Ωι αναλύσεις, των οποίων τα αποτελέσματα παρουσιάζονται στον Πίνακα 5 έγιναν σε σφαλερίτη ο οποίος συμμετέχει και στις δύο προηγούμενες περιπτώσεις. Στην πρώτη περίπτωση ο περιεχόμενος σίδηρος παρουσιάζει μια διακύμανση της τάξης του 0.77% κυμαίνομενος από την τιμή 6.97% Fe μέχρι 7.74% Fe και αντίστοιχα 12.073-13.37 mol % FeS (Σχ. 4), με μέση τιμή αυτών τα 13.058 ± 1.27 mol % FeS. Στη δεύτερη περίπτωση, του πολικλοβλαστικώς εγκλεισμένου σφαλερίτη σε σιδηροπυρίτη, παρατηρήθηκε ψιλότερο περιεχόμενο σίδηρου και οι τιμές του κυμαίνονται από 7.19-8.49% Fe με αντίστοιχες τιμές 13.53-14.62 σε mol % FeS και μέση τιμή 13.9 ± 0.75 mol % FeS.

Ψηφιακή Βιβλιοθήκη "Θεόφραστος" - Τμήμα Γεωλογίας. Α.Π.Θ.



Σχ. 3 Περιεχόμενο Fe (At %) στον αρσενοπυρίτη.

Fig. 3 Content of Fe (At %) in arsenopyrite.



Σχ. 4 Ιστόγραμμα των mole % FeS των σφαλεριτών.

Fig. 4 Histogram of mole % FeS of sphalerites.

Η τιμή αυτή του σιδήρου στη δεύτερη ιστολογική εικόνα αντιστοιχεία σύμφωνα με το διάγραμμα $T-X_{\text{Fe}}^{\text{sp}} - P$ (Scott, 1973) σε πίεση του αγώτερου όρου της καθολικής μεταμόρφωσης (metamorphic peak) 5.6 ± 0.8 kb. Αυτό βέβαια μπό την προϋπόθεση ότι οι ποικιλοβλαστικά εγκλεισμένοι σφαλερίτες σε μεταβλαστικούς σιδηροπυρίτες έχουν απομονωθεί από ανάδρομες μεταμορφικές μεταβολές (πρασινοσχιστολιθική φάση), αντιπροσωπεύοντας παραγενέσεις λασρροπίας (στοιχείο που προέκυψε και από τη μελέτη των αρσενοπυριτών, βλ. προηγούμενο κεφάλαιο) με διατηρούμενες τις συνθήκες ρ και T του ανώτερου ορίου της καθολικής μεταμόρφωσης (Hutchinson & Scott, 1981).

ΣΥΖΗΤΗΣΗ

Οι μεταλλοφορίες της περιοχής Στανού παρουσιάζονται με συμπαγή-διάσπαρτη μορφή (θέσεις Παλιόμυλος, Χάλκωμα, Καραμπογιά) και με ασθενώς διάσπαρτη μορφή εντός φλεβιδών (Κασίδα). Ο πρώτος τύπος της μεταλλοφορίας χαρακτηρίζεται κυρίως από τις παραγενέσεις : (α) py, cr ± Au, Bi, Te (Παλιόμυλος), (β) ars, cr, (py)± Au, Bi (Χάλκωμα) και (γ) py, cr, (po, sph) ± Bi, ενώ στο δεύτερο τύπο αντιστοιχεί η παραγένεση gal, (sph) ± Cu, Ag, Sb (Κασίδα). Η μικροσκοπική μελέτη του μεταλλεύματος στις τρεις πρώτες εμφανίσεις έδειξε ότι τα μεταλλικά συστατικά έχουν υποστεί τις ίδιες μεταμορφικές και παραμορφωτικές διαδικασίες όπως εκείνες των περιβαλλότων πετρωμάτων. Η προσανατολισμένη τοποθέτηση των μεταλλικών συγκεντρώσεων παράλληλα με τις σχιστοφυείς επιφάνειες των διμαρμαρυγιακών γνευσίων, οι πολυγωνικοί κοκκώδεις λιστοί ανακρυστάλλωσης, οι κατακλαστικοί λιστοί καθώς και οι εύπλαστες παραμορφώσεις των μαλακών ορυκτών αποτελούν τα χαρακτηριστικά του μεταλλεύματος. Πρόσθετα οι συνθήκες θερμοκρασίας και πίεσης που προέκυψαν χρησιμοποιώντας αντίστοιχα τη σύσταση του αρσενοπυρίτη και σφαλερίτη, κυμαίνονται σε $460-510^\circ\text{C}$ και 5.6 ± 0.8 kb. Είναι συγκρίσιμες με εκείνες της καθολικής μεταμόρφωσης αμφιβολιτικής (Ιουρασικό-Άνω Κρητιδικό)-ανώτερης πρασινοσχιστολιθικής φάσης που προκύπτει από πυριτικές παραγενέσεις των περιβαλλόντων πετρωμάτων (Σακελλαρίου, 1986, Κουγκούλης κ.ά., 1989). Κατά συνέπεια οι μεταλλοφορίες αυτές έχουν δημιουργηθεί πριν από τις συνθήκες καθολικής μεταμόρφωσης και περιγράφονταν παραπάνω και πιθανόν αντιπροσωπεύουν συγγενετικές συγκεντρώσεις (στοιχείο που απαιτεί παραπέρα τεκμηρίωση).

Η επίδραση της επακόλουθης μεταμόρφωσης προκάλεσε στα μεταλλικά συστατικά αύξηση των κατακλαστικών λιστών με αντίστοιχη καταγραφή των πολυγωνικών λιστών ανακρυστάλλωσης, καθώς επίσης τη δημιουργία χαρακτηριστικών μορφών αποδιδόμενων σε περιστροφή ή κύληση των πυριτών κατά τη διάρκεια shearing, την ανακρυστάλλωση εκφραζόμενη κυρίως με ζωνώδη ανάπτυξη και τέλος τη δημιουργία χαρακτηριστικών φλεβικών μορφών (injection) του χαλκοπυρίτη. Η σύνδεση των τελευταίων με το μεταμορφικό επεισόδιο της ανάδρομης μεταμόρφωσης στηρίζεται

επίσης και στις εξής παρατηρήσεις : (1) οι φλεβικές μορφές του χαλκοπυρίτη παραπρόμνται μόνον στην έντονα κερματισμένη συμπαγή μεταλλοφορία η οποία τέμνει την κύρια σχιστότητα των μεταμορφιτών, (2) η μη συμμετοχή του χαλκοπυρίτη σε τανιώδεις συγκεντρώσεις ώστε να συνάγεται η λασρροπία του με τα ορυκτά sph, po, py, ars, (3) η ιστολογική του εικόνα με τα προαναφερθέντα ορυκτά είναι τέτοια ώστε να δηλώνεται η μεταγενέστερη κρυστάλλωσή του και (4) η απουσία στον χαλκοπυρίτη υπολειμματικών λιστών annealing. Η ανάδρομη μεταμόρφωση πρασινοσχιστολιθικής φάσης έχει σαν κατώτερο θερμοκρασιακό όριο τουλάχιστον τους 334°C . Αυτό προκύπτει από την απουσία κουβανίτη ο οποίος είναι σταθερός πάνω από 334°C όταν συνυπάρχει με σιδηροπυρίτη και μαννητοπυρίτη (Yund & Kullerud, 1966) και την παρουσία των προιόντων διάσπασής του (απομίζεις μαγνητοπυρίτη στον χαλκοπυρίτη, Ramdohr, 1980).

Αναφορικά με τον χρυσό στις Fe-Cu/ούχες μεταλλοφορίες Παλιόμυλο και Χάλκωμα, τα ορυκτά χρυσός και ήλεκτρο δείχνουν μια καθαρή σύνδεση με το φαινόμενο της ανάδρομης μεταμόρφωσης αφού συνδέονται άμεσα με τις προαναφερθείσες φλεβικές μορφές του χαλκοπυρίτη, που αποτελούν τον φορέα, εκτός του χρυσού και των ορυκτών του Bi, του τελουρίδου και ελάχιστων ποσοστών σφαλερίτη (sph_{II}). Θα μπορούσε ακόμη να λεχτεί ότι αυτές αποτελούν συχνά και τον καθοδηγητικό παράγοντα του εντοπισμού του χρυσού έτσι μικροσκόπιο. Ο εντοπισμός εξάλλου ορυκτών Co, Ni, η συμμετοχή Co στο πλέγμα του σιδηροπυρίτη και οι ιστολογικές εικόνες παρουσιάς του χρυσού σε συνδυασμό με την ύπαρξη βασικών πετρωμάτων στην περιοχή, ενισχύουν την άποψη ότι τα πετρώματα αυτά πιένονται να απετέλεσαν, με τη διαδικασία της απόπλυσης, την πηγή μέρους των μεταλλικών στοιχείων και πιθανόν του χρυσού της περιοχής.

Σχετικά με την μεταλλοφορία Pb-Zn ± Cu, Sb, Ag στη θέση Κασίδα οι παρατηρήσεις ότι ενώ ο ξενιστής (μάρμαρο) παρουσιάζεται έντονα τεκτονισμένος έως μυλιντιαμένος, οι μεταλλικές συγκεντρώσεις δεν παρουσιάζουν στοιχεία παραμόρφωσης αλλά αντίθετα αποτελούν την συνδετική ύλη των πετρογενετικών θραυσμάτων καθώς και η συμμετοχή ορυκτών Zn (sph_{III} με ελάχιστο Fe) Sb, Ag, με χαμηλότερη θερμοκρασία κρυστάλλωσης, μας επιτρέπουν να χαρακτηρίσουμε την μεταλλοφορία αυτή ως μη παραμορφωμένη και μεταγενέστερη των Fe-Cu±Au μεταλλοφοριών της περιοχής του Στανού.

Με βάση τις προηγούμενες παρατηρήσεις καταλήγουμε στην παραγενετική εξέλιξη των μεταλλοφοριών του Στανού η οποία δίδεται στον Πίνακα 6, όπου το στάδιο I αντιπροσωπεύει την μεταλλοφορία η οποία υπέστη την πρόδρομη μεταμόρφωση, ενώ το στάδιο II αντιπροσωπεύει την ορυκτολογική παραγένεση η οποία είναι το αποτέλεσμα της επίδρασης και της ανάδρομης μεταμόρφωσης. Το στάδιο αυτό χαρακτηρίζεται από τον εμπλουτισμό σε ορυκτά Cu, Bi, Te, Au και Ag. Το στάδιο III αντιπροσωπεύει την μη παραμορφωμένη και μεταγενέστερη, συνεπώς, μεταλλοφορία προερχόμενη από Pb-Zn διαλύματα με συμμετοχή Cu, Ag, Sb η οποία παρατηρείται στη θέση

Κασίδα.

ΕΥΧΑΡΙΣΤΙΕΣ

Ευχαριστούμε τον κ. Δρ. Γ. Οικονόμου για τις μικροαναλύσεις στα εργαστήρια του Ι.Γ.Μ.Ε., καθώς και τον κ. Dr. G. Rose, μέσω του οποίου είχαμε την πρόσβαση στον μικροαναλυτή του Πανεπιστημίου VI στο Παρίσι.

ΒΙΒΛΙΟΓΡΑΦΙΑ

- SHARP, Z.P., ESSENE, E.J. & KELLY, W.C., (1985) : A re-examination of the arsenopyrite geothermometer : pressure considerations and application to natural assemblages. *Gan. Mineralogist.* 23, 517-534.
- VERANIS, N., KOUGOLIS, C. & KASOLI-FOURNARAKI, A. (1987) : The Examili formation and its relation to the Vertiskos formation of the Serbomacedonian massif. *Geological Society of Greece 3rd Scient. Meet. for the 1986-1988 period, Thessaloniki, May 1987.*
- VOKES, F.M. (1969) : A review of the metamorphism of sulphide deposits. *Earth-Sci. Rev.*, 5, 99-143.
- YUND, R.A. and KULLERUD, G. (1966) : Thermal stability of assemblages in the Cu-Fe-S system. *Jour. Petrology*, 7, 454-488.

Εικ. 1. Γρανοβλαστικός ύφος με τριπλά σημεία επασής των κρυστάλλων του σιδηροπυρίτη (py). Καραπούλι.

Phot.1. Granoblastic texture with triple point joins of pyrite crystals (py). Karabogia area.

Εικ. 2. Κερματισμένος αρσενοπυρίτης (Ars) με χρυσό (Au) στις κατακλάσεις του. Χάλκωμα.

Phot.2. Cataclastic texture arsenopyrite (Ars) with gold (Au) in the fractures. Chalkoma area.

Εικ. 3. Φλεβίδιο χαλκοπυρίτη (Cp) με εγκλεισμάτα χρυσού (Au), αυτοψιούς Bi (Bi) και σφαλερίτη (sp). Χάλκωμα.

Phot.3. Chalcopyrite veinlet (Cp) with inclusions of gold (Au), native Bi (Bi) and sphalerite (Sp). Chalkoma area.

Εικ. 4. Κοβαλτιούχος πυρίτης (Co-Py) ο οποίος περιβάλλεται από θειολάτα του Bi (SBi) και διασχίζεται από λεπτό φλεβίδιο χρυσού (Au). Παλιόμυλος.

Phot.4. Co-pyrite (Co-Py) surrounded by Bi-sulfosalts (SBi) cut by a thin veinlet with gold (Au). Paliomilos area.

Εικ. 5. Συμφύσεις κοσαλίτη (CoS) και τελλιούρίδου του Bi (TeBi) οι οποίες ενκλειόνται σε χαλκοπυρίτη (Cp). Παλιόμυλος.

Phot.5. Cosalite (CoS) and Bi-Telluridium (TeBi) intergrowths, included in chalcopyrite (Cp). Paliomilos area.

Εικ. 6. Σύμψη χρυσού (Au) και θειολάτων Bi (SBi) σε φλεβίδιο χαλκοπυρίτη (Cp). Παλιόμυλος.

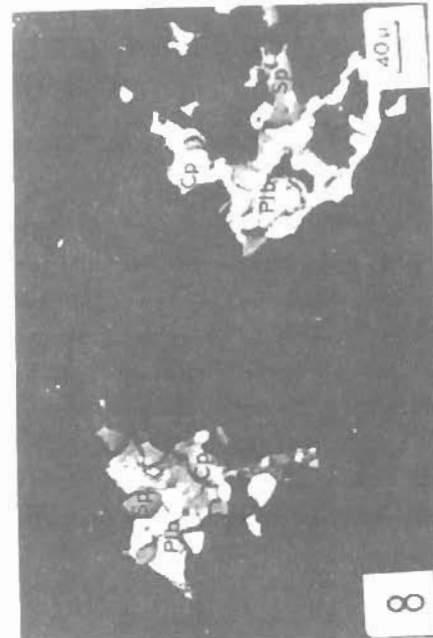
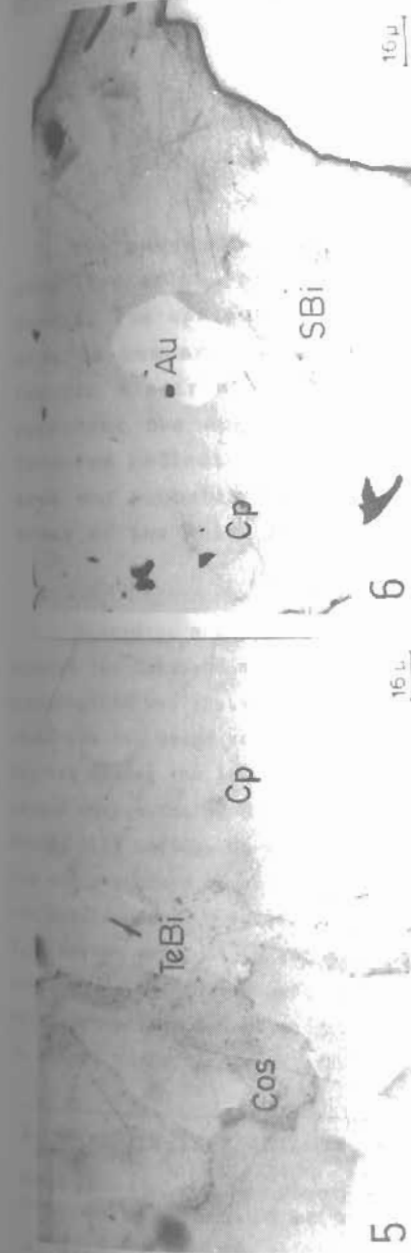
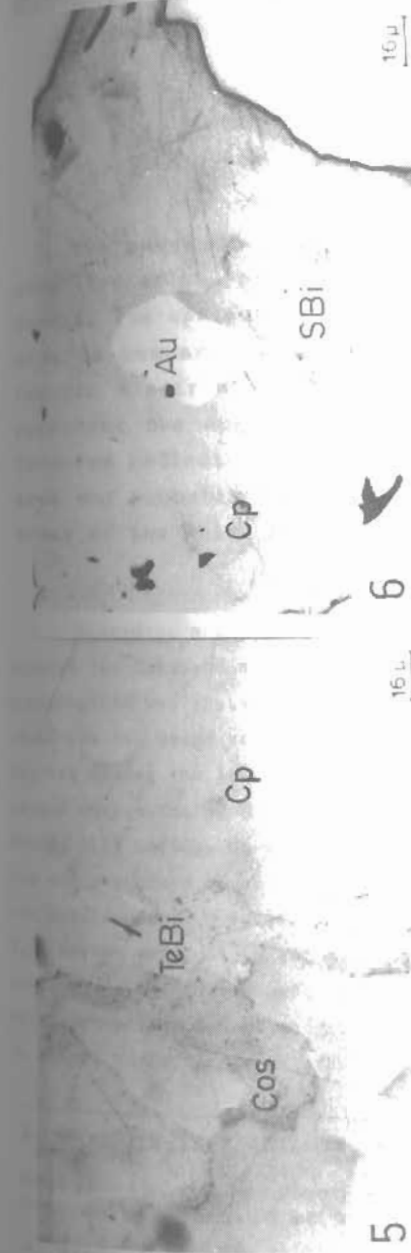
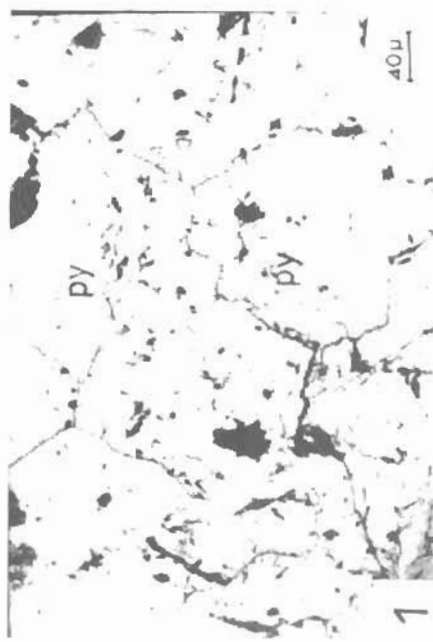
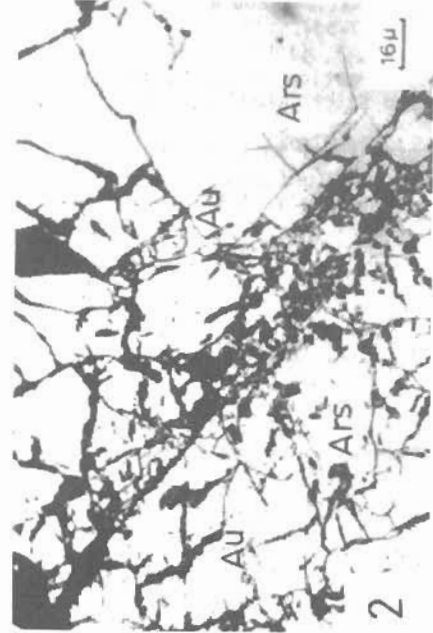
Phot.6. Gold (Au) and Bi-sulfosalt (SBi) intergrowth in chalcopyrite veinlet (Cp). Paliomilos area.

Εικ. 7. Κόκκος χρυσού (Au) μεταξύ των κρυστάλλων του σιδηροπυρίτη (Py). Παλιόμυλος.

Phot.7. Gold grain (Au) between pyrite crystals (Py). Paliomilos area.

Εικ. 8. Πολυβασίτης (Pb) συμφύσιμος με Ag-τετραεδρίτη (Tet), χαλκοπυρίτη (Cp) και σφαλερίτη (Sp). Κασίδα.

Phot.8. Polybasite (Pb) intergrown with Ag-tetrahedrite (Tet), Chalcopyrite (Cp) and sphalerite (Sp). Kasida area.



Ψηφιακή Βιβλιοθήκη "Θεόφραστος" - Τμήμα Γεωλογίας. Α.Π.Θ.